



Corso Luigi Einaudi, 55 - Torino

Appunti universitari

Tesi di laurea

Cartoleria e cancelleria

Stampa file e fotocopie

Print on demand

Rilegature

NUMERO: 1795A -

ANNO: 2015

A P P U N T I

STUDENTE: Massara Andrea

MATERIA: Fisica II Formulario - prof. Giorgis

Il presente lavoro nasce dall'impegno dell'autore ed è distribuito in accordo con il Centro Appunti.

Tutti i diritti sono riservati. È vietata qualsiasi riproduzione, copia totale o parziale, dei contenuti inseriti nel presente volume, ivi inclusa la memorizzazione, rielaborazione, diffusione o distribuzione dei contenuti stessi mediante qualunque supporto magnetico o cartaceo, piattaforma tecnologica o rete telematica, senza previa autorizzazione scritta dell'autore.

**ATTENZIONE: QUESTI APPUNTI SONO FATTI DA STUDENTIE NON SONO STATI VISIONATI DAL DOCENTE.
IL NOME DEL PROFESSORE, SERVE SOLO PER IDENTIFICARE IL CORSO.**

FORMULARIO FISICA

LEZ. 1

FORZA DI COULOMB:

$$\vec{F} = k \frac{q q'}{r^2} \vec{U}_r$$

\vec{U}_r : vettore con punta rivolta verso la particella studiata, ossia quella che subisce l'interazione

- (grafico iperbolico $(\frac{1}{r^2})$ della F scambiata in funzione della distanza r)
- $k = 9 \cdot 10^9 \frac{Nm^2}{C^2} = \frac{1}{4\pi\epsilon_0}$ $\epsilon_0 = \text{costante dielettrica del vuoto} = 8.85 \cdot 10^{-12} \frac{C^2}{Nm^2}$
- Poiché $\frac{F_g}{F_e} \ll 1$, si può dire che su scala atomica la forza gravitazionale non gioca alcun ruolo rispetto a quella elettrica! Non è lo stesso a livello macroscopico!

se $|F| > 0$, la forza è REPULSIVA

se $|F| < 0$, " " " ATRATTIVA

- Vale il principio di sovrapposizione degli effetti per cui la F_{ep} agente su una particella è somma vettoriale delle singole forze prodotte dalle particelle che la circondano

$$\vec{F}_{TOT} = \vec{F}_1 + \vec{F}_2 + \dots + \vec{F}_n = \sum_{i=1}^n \vec{F}_i$$

CAMPO ELETTRICO

- ① Per cariche puntiformi si parla di campo elettrostatico

$$\vec{E} = \frac{\vec{F}_{TOT}}{q'}$$

carica che subisce il campo e su cui lo voglio calcolare

- Poiché nella F c'è il termine $\frac{1}{r^2}$, il campo dipenderà da punto a punto e sarà diverso in ogni punto dello spazio
- U.M. $\frac{[N]}{[C]}$
- Le linee di forza del campo ne danno una rappresentazione grafica. Per le cariche puntiformi fanno geometria radiale e risultano ENTRANTI per cariche negative, USCENTI per cariche positive.
- L'intensità di un campo è tanto più grande tanto più è alta la densità di linee di campo che attraversano una superficie compiana
- Per campi generati da + cariche puntiformi, è valido il principio di sovrapposizione degli effetti, le linee di campo si deformano al fine di seguire l'andamento del campo risultante
- Vale il principio di sovrapposizione degli effetti!

$$\vec{E}_{TOT} = \vec{E}_1 + \vec{E}_2 + \dots + \vec{E}_m = \sum_{i=1}^m \frac{q_i}{r_i^2}$$

q_i : i-esima carica generante
 r_i : i-esima distanza tra la generante e sudente

POTENZIALE DI UNA CARICA PUNTIFORME q:

Ricordando che passando da energia potenziale a potenziale devo dividere per q' e mettere un (-) che moltiplica il $L = -(E_{p,B} - E_{p,A})$ ho che $\frac{dE_p}{q'} = -dV \Rightarrow \frac{dE_p}{q'} = \frac{d(E_{p,B} - E_{p,A})}{q'}$, ma il lavoro si calcola come $-(\Delta E_p)$ ho che $dL = -\frac{dE_p}{q'}$ da cui $\frac{dL}{q'} = -dV$

• Poiché $L = \int \vec{E} d\vec{s}$ e $\frac{dL}{q'} = -dV$ ho che $dV = -\vec{E} d\vec{s} = -\frac{q}{4\pi\epsilon_0 r^2} \vec{u}_r d\vec{s} = -\frac{q}{4\pi\epsilon_0 r^2} dr = \frac{q}{4\pi\epsilon_0 r^2} + \text{cost}$
questo q c'è
 $\times k L = \int \vec{E} d\vec{s} = \int \vec{E} d\vec{s}$
integrando dV e trovo V
 $\int dV = \int -\frac{q}{4\pi\epsilon_0 r^2} \vec{u}_r d\vec{s} = \int -\frac{q}{4\pi\epsilon_0 r^2} dr$
 • lim $V = \phi$, perciò la scelta di costante = ϕ è per questo motivo $= \frac{q}{4\pi\epsilon_0} \left(-\frac{1}{r}\right) = \frac{q}{4\pi\epsilon_0 r}$

$$V = \frac{q}{4\pi\epsilon_0 r}$$

• Come per le F_{el} e per i campi E_0 anche per i potenziali elettrici vale il principio di sovrapposizione degli effetti!

① Per distribuzioni discrete di carica (punti formi):

se $V_i = \frac{q_i}{4\pi\epsilon_0 r_{p,i}}$ avrà che $V_{TOT}(P) = V_1 + V_2 + \dots + V_m$

$$V_{TOT}(P) = \sum_{i=1}^m \frac{q_i}{4\pi\epsilon_0 r_{p,i}}$$

② Per distribuzioni continue di cariche:

SOMMARE = INTEGRARE

Otteno il potenziale risultante V dato da Q come somma di tutte le componenti dq in dVol ottenute scomponendo in infinitesime parti il volume dVol occupato da Q, pertanto:

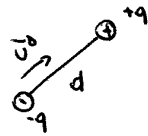
se $dV = \frac{dq}{4\pi\epsilon_0 r}$ ed utilizzando il concetto di densità di carica volumica $\rho = \frac{dq}{dVol}$ avrà:
se costante ρ_0 una dist. unif.

$$V_{TOT}(P) = \int_{Vol} dV = \int_{Vol} \frac{dq}{4\pi\epsilon_0 r} = \int_{Vol} \frac{dVol \rho}{4\pi\epsilon_0 r} = \frac{1}{4\pi\epsilon_0} \int_{Vol} \frac{dVol \rho}{r} + \text{costante}$$

$$V_{TOT}(P) = \frac{1}{4\pi\epsilon_0} \int \frac{dVol \rho}{r} + \text{costante}$$

3

DIPOLO ELETTRICO :



Il dipolo elettrico è un oggetto che presenta 2 cariche elettriche puntiformi eguali in modulo ma di segno opposto (+q e -q).

Esse sono separate da una distanza d.

• Momento di dipolo elettrico: \vec{p}

$$\vec{p} = q \cdot d \cdot \vec{U}$$

\vec{U} = versore che punta dalla carica negativa verso quella positiva

• Il potenziale $V(P)$ di un dipolo è definito come

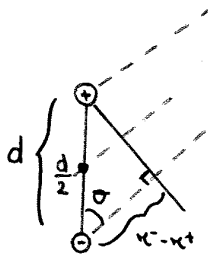
$$V(P) = \frac{q}{4\pi\epsilon_0} \left(\frac{1}{r^+} - \frac{1}{r^-} \right)$$

$\Rightarrow r^+$ e r^- sono rispettivamente le distanze dal punto P delle cariche +q e -q

CAO PARTIC.

se $r \gg d$, si considera $r \approx r^+ \approx r^-$ ho che:

\hookrightarrow la distanza dal centro del dipolo a P



$$V(P) = \frac{q}{4\pi\epsilon_0} \left(\frac{1}{r^+} - \frac{1}{r^-} \right) = \frac{q}{4\pi\epsilon_0} \left(\frac{r^- - r^+}{r^+ r^-} \right) = \frac{q}{4\pi\epsilon_0} \frac{d \cos \theta}{r^2} = \frac{p \cos \theta}{4\pi\epsilon_0 r^2}$$

$$V(P) = \frac{p \cos \theta}{4\pi\epsilon_0 r^2} \quad \text{se } r \gg d$$

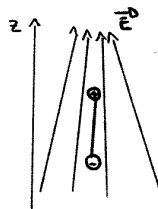
$\vec{E} = -\vec{\nabla} V(P) \Rightarrow$ ottengo il campo \vec{E} nel punto P

INTERAZIONE DIPOLO ELETTRICO CAMPO ELETTRICO ESTERNO

① CAMPO ELETTRICO NON UNIFORME:

$\hookrightarrow |\vec{E}| = \text{non costante}$

• per semplicità mettiamo che \vec{E} varia solo sull'asse z, mentre su x e y resta costante



Poiché il campo aumenta al crescere di z lo che $d^+ \neq d^-$ da cui $E^+ > E^-$ e quindi $F^+ > F^-$

$$F_{\text{Tot}} = F^+ - F^- = qE^+ - qE^- = q[E^+ - E^-] = q \Delta E$$

poiché abbiamo supposto E variabile solo su z si ha che $F_{\text{Tot}} = q \Delta E \frac{\Delta z}{\Delta z} = \frac{p \Delta E}{\Delta z}$

• Più generalmente si avrà che:

$$\vec{F} = \frac{\partial (p \cdot \vec{E})}{\partial x} \vec{i} + \frac{\partial (p \cdot \vec{E})}{\partial y} \vec{j} + \frac{\partial (p \cdot \vec{E})}{\partial z} \vec{k} = \vec{\nabla} (p \cdot \vec{E})$$

$\frac{\partial (p \cdot \vec{E})}{\partial z}$

CONCLUSIONI:

- \Rightarrow * Se il dipolo è disposto parallelamente al campo, la $F^+ > F^-$ e dunque esso tenderà a spostarsi verso le zone di campo + intense
- * Se il dipolo è anti // al campo $F^- > F^+$ ed esso tenderà verso \vec{E} opposto

LEZ. 3

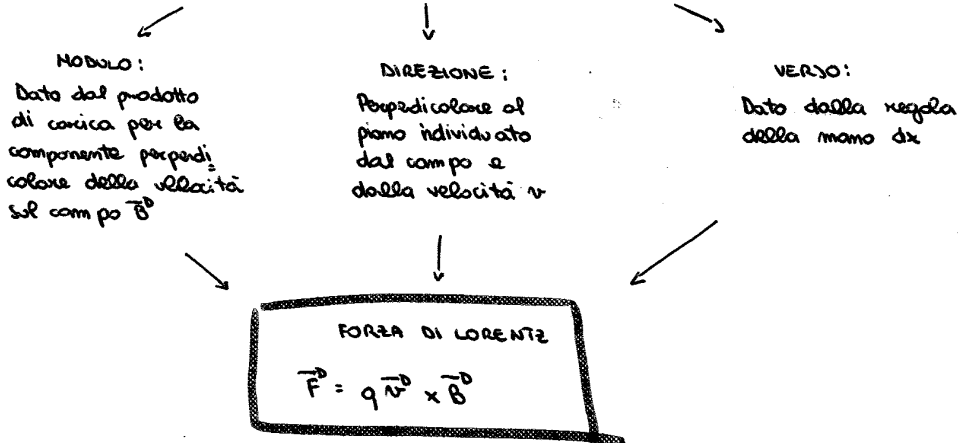
MAGNETISMO. Forza di tipo interattivo che due bobine metalliche si scambiano.

- Tale fenomeno appare concentrato agli estremi o POLI MAGNETICI, precisamente due: NORD, dal quale le linee di campo escono, e SUD, da cui le linee entrano
- L'interazione tra poli uguali è REPULSIVA, tra poli diversi è ATRATTIVA

Si cerca perciò di fare un discorso analogo a quello fatto con la carica elettrica e perciò:

* Se metto una carica in quiete in un campo magnetico essa continua il suo stato di quiete

* se la stessa particella è dotata di velocità quando immessa in un campo magnetico \vec{B} essa subisce una forza!



FORZA DI LORENTZ. Modulo $|\vec{F}| = q|\vec{v}||\vec{B}|\sin\alpha$

• U.M. è [N]

$$\hookrightarrow [N] = C \left[\frac{m}{s} \right] [UH_0]$$

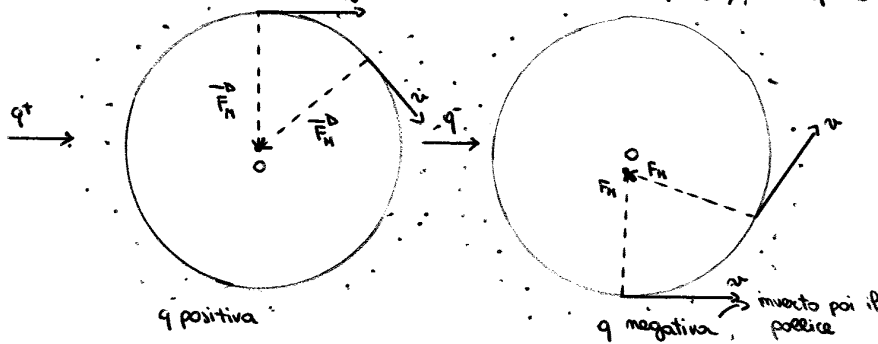
$$[UH_0] = \frac{[N][C]}{[C][m]} = [T] = \text{Tesla}$$

- Se la particella è carica positivamente la forza di Lorentz segue il pollice secondo la regola della mano dx. Se la particella è negativa essa va in direzione opposta al pollice.

APPLICAZIONI NOTEVOLI:

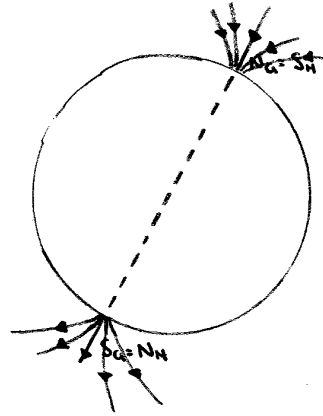
① PARTICELLA CARICA IN MOTO IN UN CAMPO \vec{B} UNIFORME con $\vec{v} \perp \vec{B}$

Per la formula $\vec{F} = q\vec{v} \times \vec{B}$, \vec{v} è sempre \perp a \vec{F} , costante in modulo ma non in direzione e verso ($\Delta E_c = 0$, il campo \vec{B} non compie lavoro)



MOTO CIRCOLARE UNIFORME!

CAMPO MAGNETICO TERRESTRE

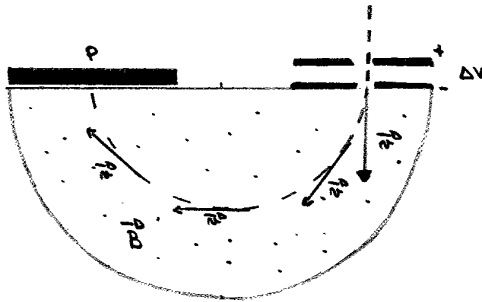


Esso presenta poli geografici invertiti rispetto a quelli magnetici

Importante per l'effetto schermo che la nei confronti di particelle o raggi cosmici poiché attraverso l'applicazione della forza di Lorentz può deviarli o talvolta impedirli indiettro, evitando così che questi risultino nocivi sulla Terra

PERIMETRO DI MASSA

Passaggio da un moto rettilineo ad uno circolare



Conoscendo il punto d'impatto di q, conosco il raggio di curvatura, da cui ricavo il resto

$$1^a \quad r = \frac{mv}{qB} \quad \rightarrow \quad v = \frac{r q B}{m}$$

$$2^a \quad \frac{1}{2} m v^2 = q \Delta V \quad \rightarrow \quad v^2 = \frac{2 q \Delta V}{m}$$

il campo B^2 non compare, quindi $\Delta E_c = \beta$ e per la con. della curvatura $\Delta E_c = \Delta E_p$

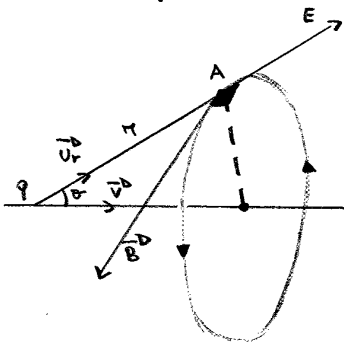
Risolvo quel sistema 2 eq. in 2 inc.

$$v^2 = \frac{r^2 q^2 B^2}{m^2} = \frac{2 q \Delta V}{m}$$

$$\boxed{\frac{q}{m} = \frac{2 \Delta V}{r^2 B^2}}$$

CAMPO MAGNETICO GENERATO DA UNA CARICA IN MOTO

Ogni carica elettrica in moto dotata di velocità v risulta una sorgente di campo magnetico:



LEGGE DI AMPERE-LAPLACE

$$\vec{B} = \frac{\mu_0 q \vec{v} \times \vec{r}}{4\pi r^2}$$

dove μ_0 è la permeabilità magnetica del vuoto $= 4\pi \cdot 10^{-7} \frac{mkg}{c^2}$

e \vec{r} vettore che punta dalla particella verso il punto in cui calcolare B

B avrà modulo:

$$B = \frac{\mu_0 q v \sin \theta}{4\pi r^2}$$

poiché nella circonferenza il θ resta uguale al variare del punto di osservazione lo che il resto costante θ e r punto

- direzione: \perp al piano dato da \vec{v} e \vec{r}
- verso: dato dalla regola della mano dx \rightarrow questi cambiano sempre

* La stessa carica genera anche un campo elettrico dato dalla legge di Coulomb posso dire

NB

al termine $\frac{q}{4\pi r^2}$ presente in Coulomb, sostituisco E moltiplicando anche per ϵ_0 che moltiplicherò a denominatore

$$\vec{B} = \mu_0 \epsilon_0 \cdot \vec{v} \times \vec{E}$$

• ottiene accoppiando Coulomb e Ampere-Laplace

• $\mu_0 \epsilon_0 = \frac{1}{c^2}$ con $c = 3 \cdot 10^8 \frac{m}{s}$

6

- come la corrente i è definita come carica per unità di tempo ho che la densità di corrente (j) è data dalla corrente per unità di superficie

$$\vec{j} = \frac{\vec{I}}{S} = \frac{n \cdot q \cdot \vec{v} \cdot S}{S} = nq\vec{v}$$

→ direzione e verso di \vec{j} dato da dir. e verso di \vec{v}

• UH: $\frac{[A]}{[m^2]}$

LEGGI DI OHM

FORMULAZIONE MACROSCOPICA DELLA LEGGE

- A temperatura costante il rapporto tensione-corrente è una costante!

$$\Delta V = R \cdot I$$

- R è misurata in $\frac{[V]}{[A]} = [\Omega] = \text{ohm}$

FORMULAZIONE MICROSCOPICA DELLA LEGGE

- In conduttore cilindrico lungo l e di sezione S con potenziale ΔV ho che

$$I = jS = \frac{\Delta V}{R} = \frac{P \cdot E}{R} \quad \begin{matrix} \text{ricordare il cod. a facce} \\ \text{piane } \perp \parallel \\ \hookrightarrow \Delta V = d \cdot E \end{matrix}$$

da cui $jS = \frac{P \cdot E}{R} = I$ e ho che:

$$j = \left(\frac{P}{SR} \right) E \quad \text{con } \sigma = \frac{P}{SR}$$

- sigma (σ) è detta conducibilità elettrica e si misura in $\frac{[m]}{[m^2][\Omega]} = \frac{1}{[m][\Omega]}$

- Definisco ρ (ρ) la resistività elettrica come il reciproco della conducibilità:

$$\rho = \frac{1}{\sigma} \quad (\text{misurata in } [\Omega][m])$$

- Poiché $\sigma = \frac{P}{RS}$ ho che $R = \frac{\rho}{S}$ da cui noto la semplice dipendenza della resistenza dalla geometria del sistema osservato!

VELOCITÀ DI DERIVA

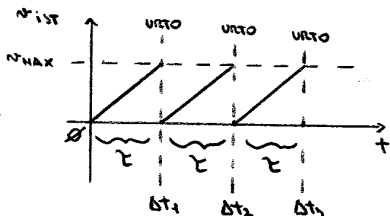
Considero il modello di Drude nella teoria del trasporto elettronico:

Si suppone l'esistenza di un meccanismo di perdita di E_c degli elettroni nel reticolo, dovuto ad urti di tipo anelastico degli stessi e con gli atomi (nuclei non fissi degli e mobili).

Urti e hanno velocità di drift costante poiché sottoposti ad un campo elettrico costante.

La velocità cresce fino all'urto e raggiunge un valore MAX. Nell'urto perde velocità che viene nuovamente incrementata in corso del campo.

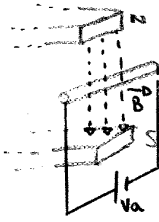
Dopo di che si giunge ad un altro urto. Si definisce una velocità media di drift (v_d)



$$\begin{cases} j = nq v \\ j = \sigma E \end{cases} \Rightarrow$$

$$v_d = \left(\frac{\sigma}{nq} \right) E \quad \text{con } \frac{\sigma}{nq} = \text{mobilità} = \mu$$

• APPLICAZIONE 1: "forza magnetica su una corrente rettilinea"



Prendo una sbarra metallica in un campo \vec{B} uniforme prodotto da una calamita (utilizzo la regola precedente) percorsa da corrente poiché collegata ad una batteria di fem esterna noto che:

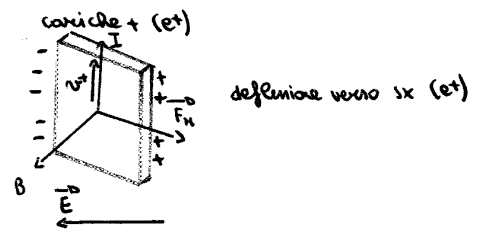
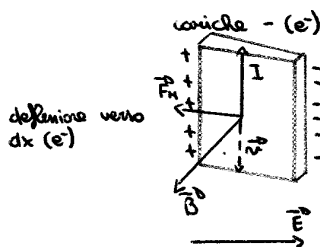
$$\vec{F} = \int_L d\vec{F} = I \int_L d\vec{l} \times \vec{B} = I \vec{L} \times \vec{B}$$

dir e verso dato dalla regola della mano dx

• APPLICAZIONE 2: "effetto Hall"

L'effetto Hall rappresenta la dimostrazione della forza sulle cariche della corrente

Prendo una lamina metallica e la faccio attraversare da una corrente ed una parallela! Il campo \vec{B} è \perp alla lamina

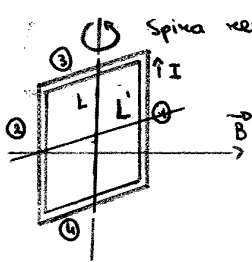


Lungo l'asse y viene a crearsi un campo elettrico dovuto all'accumulo di carica ossia per la deflexione del campo \vec{B} che fa accumulare cariche opposte sui lati opposti della lamina metallica.

Ciò termina quando la F_H eguaglia quella elettrica F_e in modulo, ossia $F_H = -F_e$:

$$\vec{F}_H = q\vec{v} \times \vec{B}, \quad \vec{F}_e = q \cdot \vec{E} \quad \Rightarrow \quad \vec{E} = \vec{v} \times \vec{B}$$

FORZA MAGNETICA SU UNA CORRENTE ELETTRICA



Spina rettangolare percorsa da corrente e posta nel campo magnetico uniforme \vec{B}

Calcolo delle forze:

LATO 1) \vec{L} e \vec{B} sono sempre \perp

$$\vec{F}_H^1 = I \vec{L} \times \vec{B} \quad |\vec{F}_H^1| = ILB \sin \frac{\pi}{2}$$

direzione e verso: regola mano dx \rightarrow ENTRANTE

LATO 2) \vec{L} e \vec{B} sono sempre \perp

$$\vec{F}_H^2 = I \vec{L} \times \vec{B} \quad |\vec{F}_H^2| = ILB \sin \frac{\pi}{2}$$

direzione e verso: mano dx \rightarrow USCENTE

LATO 3) \vec{L} e \vec{B} fanno α come angolo ($\alpha = \frac{\pi}{2} + \theta$)

$$\vec{F}_H^3 = I \vec{L} \times \vec{B} \quad |\vec{F}_H^3| = ILB \sin(\frac{\pi}{2} + \theta)$$

direzione e verso: mano dx \rightarrow ALTO



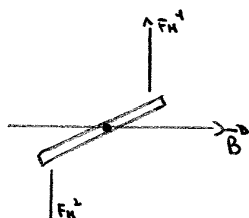
LATO 4) \vec{L} e \vec{B} fanno α' come angolo ($\alpha' = \frac{\pi}{2} - \theta$)

$$\vec{F}_H^4 = I \vec{L} \times \vec{B} \quad |\vec{F}_H^4| = ILB \sin(\frac{\pi}{2} - \theta)$$

direzione e verso: mano dx \rightarrow DALLO COSO

TOTALE) Le coppie di forze agiscono simultaneamente

- F_H^1 e F_H^2 compiono un moto rotatorio della spina, nel complesso $F_H^{1,2}$
- F_H^3 e F_H^4 hanno moduli eguali ma versi opposti, dunque si elidono!



IL CAMPO MAGNETICO GENERATO DA UNA CORRENTE

↳ estensione della legge di Ampere-Laplace per una singola particella in moto

- Legge di Ampere-Laplace (una carica) $\vec{B} = \frac{\mu_0}{4\pi} \cdot \frac{q \vec{v} \times \vec{U}_r}{r^2} \Rightarrow$ in un filo ci sono n cariche per unità di volume dunque

$$\vec{B}_{vol} = \frac{\mu_0}{4\pi} \cdot \frac{nq \vec{v} \times \vec{U}_r}{r^2}$$

- Considerando una infinitesima parte di conduttore ($d\ell$) con sezione comunque S , ma volume $dV = S d\ell$, il campo $d\vec{B}$ nell'infinitesimo tratto varrà:

$$d\vec{B} = \frac{\mu_0}{4\pi} \cdot \frac{nq(Sd\ell)\vec{v} \times \vec{U}_r}{r^2} \quad j = \frac{I}{S} = \frac{nq \cdot v}{S} = nqv$$

$$d\vec{B} = \frac{\mu_0}{4\pi} \cdot I \frac{d\vec{\ell} \times \vec{U}_r}{r^2}$$

Dunque su tutto il circuito sommerò ogni singola componente, ossia integrato poiché sono in continua!

$$\vec{B}_{tot} = \int_{cond.} d\vec{B} = \frac{\mu_0}{4\pi} \cdot I \int_{cond.} \frac{d\vec{\ell} \times \vec{U}_r}{r^2} = \text{LEGGE DI AMPERE-LAPLACE PER LE CORRENTI}$$

estensione!

- APPLICAZIONE 1: "campo magnetico generato da una corrente rettilinea con lunghezza infinita"

Dalla legge appena ricavata e poiché $P = \infty$ segue che:

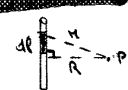
$$\vec{B}_{tot} = \frac{\mu_0}{4\pi} I \int_{-\infty}^{+\infty} \frac{d\vec{\ell} \times \vec{U}_r}{r^2}$$

dal disegno e attraverso opportune sostituzioni ricavo:

$$\vec{B} = \frac{\mu_0 I}{2\pi R} \vec{U}_\phi \quad \text{valida se } R \ll P = \text{LEGGE DI BIOT-SAVART}$$

caso particolare di Ampere-Laplace

componente \perp al filo e congiungente filo a P



\vec{U}_ϕ è il vettore parallelo al campo magnetico di cui fornisce direzione e verso!

- APPLICAZIONE 2: "campo magnetico generato da una corrente circolare (spira) lungo l'asse"

Dalla legge di Ampere-Laplace e dalle dimensioni della spira ottego:

$$\vec{B}_{tot} = \frac{\mu_0}{4\pi} I \int_{spira} \frac{d\vec{\ell} \times \vec{U}_r}{r^2}$$

Poiché mi trovo in un sistema circolare, per coppie di punti opposte sulla circonferenza della spira le componenti $d\vec{B}_\perp$ si elidono, e $d\vec{B}_\parallel$ si sommeranno invece!

$dB \cos \alpha$

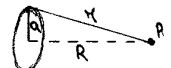
$$\vec{B}_{tot} = \int_{spira} dB \cos \alpha = \frac{\mu_0}{4\pi} I \int_{spira} \frac{d\ell \cos \alpha}{r^2} \vec{U}_\parallel$$

e anche qui con opportune sostituzioni ottego

$$\cos \alpha = \frac{a}{r}$$

$$\vec{B} = \frac{\mu_0 I a^2}{2(a^2 + R^2)^{3/2}} \vec{U}_\parallel$$

dove a è il raggio della circonferenza, mentre R è la solita componente \perp alla spira della distanza r



• APPLICAZIONE 2: "flusso di \vec{E} generato da q esterna ad S "



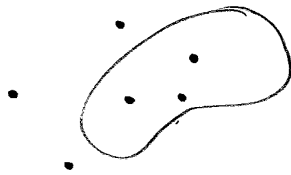
$$\phi = \oint \vec{E} \cdot \vec{u}_n dS = \frac{q}{4\pi\epsilon_0} \oint d\Omega = \frac{q}{\epsilon_0}$$

Poiché il flusso del campo elettrico dovuto da q attraverso S' è uguale a quello prodotto dalla stessa q ma attraverso S'' , scopro che:
 l'angolo Solido è il medesimo!

$\phi_{S'} = \phi_{S''}$ ma avendo che la direzione e il verso dei due flussi sono opposti ho che il flusso di \vec{E} prodotto da carica esterne è NULLO!

⇒ LE CARICHE ESTERNE NON INFLUISCONO SUL FLUSSO!

TOTALE:

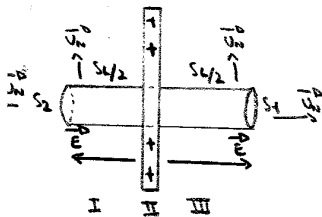


Avendo TOT cariche, esterne ed interne, il flusso del campo \vec{E} è dato dalle sole interne

$$\phi = \oint_S \vec{E} \cdot \vec{u}_n dS = \frac{\sum_{i=1}^m q_i^{INT}}{\epsilon_0}$$

PRIMA LEGGE DI GAUSS

ANFO DI UNA DISTRIBUZIONE DI CARICA PIANA UNIFORME INDEFINITA



$$Q = \sum_{i=1}^m q_i^{INT}$$

σ = densità di carica per unità di sup. = $\frac{Q}{S}$

$$E = \frac{\sigma}{2\epsilon_0}$$

Considero il cilindro \perp alla piastra, tagliato esattamente a metà e nella cui base giace P .

$$\phi_S^E = \frac{\sum_{i=1}^m q_i^{INT}}{\epsilon_0} = \oint_S \vec{E} \cdot \vec{u}_n dS$$

Poiché ho 3 zone spetto l'integrale:

$$\phi_S^E = \underbrace{\int_{S_1} \vec{E} \cdot \vec{u}_n dS}_{\theta = \theta} + \underbrace{\int_{S_2} \vec{E} \cdot \vec{u}_n dS}_{\theta = \pi} + \underbrace{\int_{S_3} \vec{E} \cdot \vec{u}_n dS}_{\theta = \frac{\pi}{2}}$$

$$\phi_S^E = \int_{S_1} E dS + \int_{S_2} E dS$$

$|\vec{E}|$ è costante perché sono sempre alla stessa distanza tra piastra e faccia

$$\phi_S^E = E \int_{S_1} dS + E \int_{S_2} dS = ES_1 + ES_2 = ES + ES$$

$$\phi_S^E = 2ES$$

= FLUSSO DI CAMPO ELETTRICO PRODOTTO DA UNA PIASTRA CARICA + E UNA SUP. CILINDRICA

ne deriva che:

$$E = \frac{\sigma}{2\epsilon_0}$$

per ogni piastra carica!

$\phi = 2ES$
 $\phi = \frac{Q}{\epsilon_0}$
 $2ES = \frac{Q}{\epsilon_0}$
 $E = \frac{Q}{2S\epsilon_0} = \frac{\sigma}{2\epsilon_0}$
 NB



CALCOLO DI CAMPO \vec{E} E DI POTENZIALE PRODOTTO DA UNA SFERA UNIFORMEMENTE CARICA

• Caso 1: $r < a$

$$E = \frac{Qr}{4\pi\epsilon_0 a^3}$$

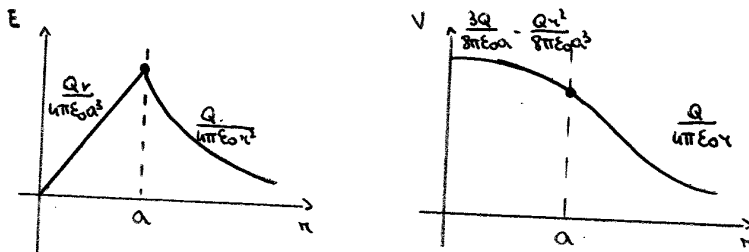
$$V(r) = \frac{3Q}{8\pi\epsilon_0 a} - \frac{Qr^2}{8\pi\epsilon_0 a^3}$$

Q = carica nella sfera
 r = distanza centro-punto
 a = raggio sfera

• Caso 2: $r \geq a$

$$E(r) = \frac{Q}{4\pi\epsilon_0 r^2}$$

$$V(r) = \frac{Q}{4\pi\epsilon_0 r}$$

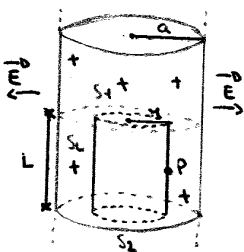


CAMPO ELETTRICO DI UNA DISTRIBUZIONE UNIFORME CILINDRICA DI LUNGHEZZA INFINITA

λ = densità di carica per unità di lunghezza = $\frac{Q}{L}$

a = raggio cilindro

• Caso 1: $r < a$



Inserivo nel mio cilindro la superficie gaussiana per convenzione scelta cilindrica anch'essa e il punto P sul lato di seno

$$\phi_s^E = \int_S \vec{E} \cdot \vec{U}_n dS = \frac{\sum q_{INT}}{\epsilon_0}$$

Calcolo la quantità di carica nella sezione, che sarà minore di quella totale sebbene la carica sia uniformemente distribuita.

$$\frac{q_{INT}}{V_{TOT}} = \frac{q_{INT}}{\pi \cdot r^2 \cdot L} \cdot V$$

volume del cilindro fisico con $L \rightarrow \infty$

Nel cilindro fisico invece:

$$\frac{q_{INT}}{V_{TOT}} = \frac{q_{INT}}{\pi a^2 \cdot L} = \frac{\lambda L}{\pi a^2 \cdot L} = \lambda'$$

Il rapporto tra le due densità di carica mi darà la densità volumica del mio cilindro; ossia

$$q_{INT} = \frac{\lambda \cdot L}{a^2} r^2$$

CONDUTTORE POSTO IN UN CAMPO ELETTRICO

(11)

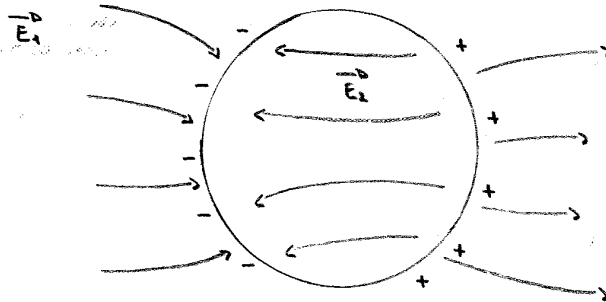
Quando sono in presenza di un campo \vec{E}^a non ho variazioni fino alla perturbazione del sistema.

Un conduttore isolato ha le cariche esterne libere ed una volta che io pongo questo nel campo elettrico osservo che le cariche libere si muovono per l'azione di \vec{E}^a creando flussi simultanei ed addensando il campo le rispettive facce del conduttore.

gli e^- si oppongono al campo e si posizioneranno nella faccia dove il campo buca il conduttore, et su quella dove esce.

Nel momento in cui le cariche si sono posizionate e il sistema si è rilassato ottengo la creazione di un campo secondario interno al conduttore dovuto all'addensamento di carica sulle due facce.

Quando campo E_2 eguaglia E_1 ho un nuovo EQUILIBRIO STABILE poiché le due componenti si elidono e dunque il campo E_T interno al conduttore sarà nullo!



- 1 • In un conduttore posto in un campo elettrostatico, il campo E_T nei punti interni al conduttore è nullo
- 2 • Il campo elettrico sulla superficie di un conduttore è normale alla superficie stessa del conduttore
- 3 • L'intera carica libera elettrica di un conduttore si trova sulla superficie dello stesso

ETTORE SPOSTAMENTO ELETTRICO

Inserisco il solito parallelepipedo dielettrico tra 2 piani con eguale densità di carica σ_{LIB} . Si induce una polarizzazione con $\sigma_{POL} = P$, ossia come visto prima con carica per unità di superficie pari al modulo del vettore polarizzazione ($P = \frac{Q}{S}$).

Il campo elettrico totale dell'oggetto sarà il totale dei 2 messi assieme. Di conseguenza la carica:

$$\sigma_{TOT} = \sigma_{LIB} + \sigma_{POL} = \sigma_{LIB} + P$$

Se ne deduce un campo E_{TOT} :

$$E_{TOT} = \frac{\sigma_{TOT}}{\epsilon_0} = \frac{1}{\epsilon_0} (\sigma_{LIB} + P) \Rightarrow \sigma_{LIB} = \epsilon_0 \cdot E + P$$

Definiamo dunque vettore spostamento elettrico D , anche detto induzione dielettrica, come la quantità la cui componente \perp rispetto alla superficie del conduttore è proporzionale alla σ_{LIB} :

$$\sigma_{LIB} = \vec{D} \cdot \vec{U}_N$$

del conduttore

$$\sigma_{POL} = \vec{P} \cdot \vec{U}_N$$

del dielettrico

UM $[D] = \frac{[C]}{[m^2]}$

UM $[P] = \frac{[C]}{[m^2]}$

Sostituendo alla relazione precedente il vettore D e dandogli una forma vettoriale ottergo:

$$\vec{D} = \epsilon_0 \cdot \vec{E} + \vec{P}$$

SUSCETTIVITÀ E PERMETTIVITÀ ELETTRICA

Per i materiali isotropi (= le grandezze fisiche misurate non dipendono da come le misuro) il vettore polarizzazione è parallelo al campo elettrico risultante ($\vec{P} \parallel \vec{E}$):

* gli anisotropi hanno χ_e matriciale (3x3).

$$\begin{pmatrix} P_x \\ P_y \\ P_z \end{pmatrix} = \begin{pmatrix} \chi_{xx} & \chi_{xy} & \chi_{xz} \\ \chi_{yx} & \chi_{yy} & \chi_{yz} \\ \chi_{zx} & \chi_{zy} & \chi_{zz} \end{pmatrix} \cdot \epsilon_0 \cdot \begin{pmatrix} E_x \\ E_y \\ E_z \end{pmatrix}$$

$\chi = \epsilon_0 (\chi_{xx} E_x + \chi_{xy} E_y + \chi_{xz} E_z)$
 e i 9 elementi sono \neq allora non è il \vec{P} ad \vec{E} . Negli isotropi sono tutti nulli meno $\chi_{xx} = \chi_{yy} = \chi_{zz} = \chi_e$

$$\vec{P} = \epsilon_0 \cdot \chi_e \vec{E}$$

dove χ_e è la suscettività elettrica, dipendente dal materiale

χ_e varia a seconda della temperatura:

Dunque tornando alla precedente relazione:

$$\vec{D} = \epsilon_0 \cdot \vec{E} + \vec{P} = \epsilon_0 \cdot \vec{E} + \epsilon_0 \cdot \chi_e \cdot \vec{E} = \underbrace{(1 + \chi_e)}_{\text{PERMETTIVITÀ } \epsilon} \epsilon_0 \cdot \vec{E} = \epsilon \cdot \vec{E}$$

$$\vec{D} = \epsilon \cdot \vec{E}$$

$$\vec{E} = \frac{1}{(1 + \chi_e)} \epsilon_0 \vec{D}$$

= PERMETTIVITÀ O COSTANTE DIELETTRICA DEL MEZZO

dove $(1 + \chi_e) = \epsilon_r$ = permittività relativa o costante dielettrica relativa

• Poiché $\oint_S \vec{D} \cdot d\vec{S} = q_{LIB}$ ho che $\oint_S \vec{E} \cdot d\vec{S} = \oint_S \epsilon \vec{E} \cdot d\vec{S} = \frac{q_{LIB}}{\epsilon}$ (in presenza di dielettrico)

$$\oint_S \vec{E} \cdot d\vec{S} = \frac{q_{LIB}}{\epsilon} = \frac{q_{TOT}}{\epsilon_0} = \frac{q_{LIB} + q_{POL}}{\epsilon_0}$$

- Prendendo adesso due conduttori isolati, entrambi con carica Q ma di segno opposto, e affacciandoli trovo un condensatore la cui legge governante sarà

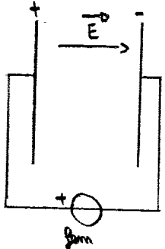
(13)

$$Q = C \cdot \Delta V$$

dove ΔV è la diff di potenziale tra le piastre metalliche

C dipende SOLO dalla geometria e dal dielettrico in cui il condensatore è stato immerso!

- CONDENSATORE A FACCE PIANE E PARALLELE



S : area faccia
 Q : carica piastre
 σ_{usb} : densità carica piastre

Quando il potenziale si sarà completamente localizzato sulla piastra avrà $\phi_{em} = V_1 - V_2 = \Delta V$

Poiché $\Delta V = E \cdot d$ ed $E = \frac{\sigma_{usb}}{\epsilon_0}$ posso scrivere $\Delta V = \frac{Q \cdot d}{S \cdot \epsilon_0} = \frac{Q}{C}$

come si può ben vedere $C = \frac{S \epsilon_0}{d}$ dunque, dipende solo dalla geometria e dal tipo di dielettrico

NEL VUOTO

$$C_0 = \frac{S \cdot \epsilon_0}{d}$$

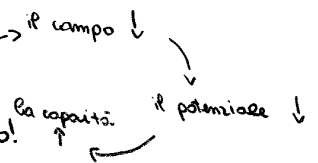
NEL MEZZO

$$C = \frac{S \cdot \epsilon_0 \cdot \epsilon_r}{d}$$

Rispetto al vuoto la capacità risulta aumentata di ϵ_r

⇒ Il campo E nel mezzo risulta decrementato di un fattore ϵ_r rispetto al vuoto!

⇒ La capacità C nel mezzo risulta incrementata di un fattore ϵ_r rispetto al vuoto!



ENERGIA DEL CAMPO ELETTROSTATICO

Caricando un condensatore a facce piane e parallele, il lavoro fatto per portare dq da una faccia all'altra è:

$dL = V dq$ con $V = \frac{q}{C}$ costante

→ $t=t_0 = \phi, V = \phi$ superficie
 → $t=t_1, V = \phi = \phi_{em}$ carico

Sommato i contributi ottengo:

$$L = \int_0^{V_0} V dq = \int_0^Q \frac{q}{C} dq = \frac{1}{C} \int_0^Q q dq = \frac{1}{C} \cdot \frac{Q^2}{2} \text{ e poiché } Q = C \Delta V = C V_0 \text{ ottengo } L = \frac{1}{2} \cdot C V_0^2$$

NB

A questo punto il lavoro fatto dal generatore di fem si tramuta in campo elettrico sotto forma di energia!

$$L = \frac{1}{2} C V_0^2 = W = \text{energia campo elettrico}$$

ricordando che $C = \frac{\epsilon S}{d}$ e $V_0 = E d$ ottengo

$$W = \frac{1}{2} \epsilon E^2 (Sd)$$

volume racchiuso tra le due facce piane e parallele

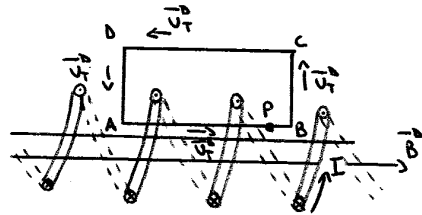
Introducendo il concetto di densità di energia del campo elettrostatico per unità volumica:

$$w = \frac{W}{Vol} = \frac{1}{2} \epsilon E^2$$

APPLICAZIONE 2: "campo magnetico nella zona centrale di un solenoide di lunghezza infinita"

n : numero spire per unità di lunghezza

I : corrente presente



• CASO 1: dentro il solenoide

$$\oint_L \vec{B} \cdot d\vec{\rho} = \mu_0 \cdot N \cdot I$$

$$\oint_L \vec{B} \cdot d\vec{\rho} = \int_{AB} \vec{B} \cdot d\vec{\rho} + \int_{BC} \vec{B} \cdot d\vec{\rho} + \int_{CD} \vec{B} \cdot d\vec{\rho} + \int_{DA} \vec{B} \cdot d\vec{\rho}$$

$\cos\theta = -1$ $\cos\frac{\pi}{2} = 0$ $\cos\frac{\pi}{2} = 0$ $\cos\frac{\pi}{2} = 0$
solo fuori dal sol.

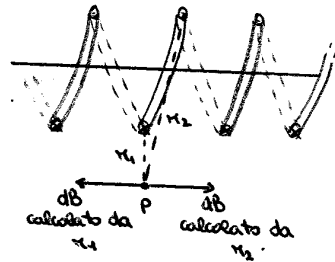
chiudo nella linea circolare rettangolare e moltiplico Ampere per le spire presenti in essa (N)

$$= \int_{AB} \vec{B} \cdot d\vec{\rho} = B \rho_{AB}$$

$$\Rightarrow \mu_0 n I = B \rho_{AB}$$

$$B = \mu_0 \frac{N}{\rho_{AB}} \cdot I = \mu_0 \cdot n \cdot I$$

• CASO 2: fuori del solenoide



\Rightarrow ogni dB prodotto da ogni contributo viene neutralizzato da un dB prodotto dal contributo di corrente simmetrico al primo

$$B = 0$$

FLUSSO DI CAMPO MAGNETICO = II EQ. MAXWELL

$$\phi_S^B = \int_S \vec{B} \cdot d\vec{S} = \int_S \vec{B} \cdot d\vec{S} \vec{u}_N$$

S : superficie chiusa gaussiana
 \vec{u}_N : vettore \perp a S (uscente)

UM: $\phi_S^B = [T][m^2] = [Wb] = \text{weber}$

Poiché non esistono monopoli magnetici, tutte le linee uscenti da S sono anche entranti. Dunque il flusso è nullo!

$$\phi_S^B = \int_S \vec{B} \cdot d\vec{S} = 0$$

= 2^a legge di Maxwell

Dimostrato semplicemente che $H = \frac{I_{LUB}}{p}$ perché:

$$\oint_L \vec{H} \cdot d\vec{p} = \sum_{i=1}^m (I_{LUB,i})$$

⇒ LA LEGGE DI AMPERE DEVE TENERE CONTO DI TUTTE LE CORRENTI! LIBERE E DI MAGNETIZZAZIONE!

$$\oint_L \vec{B} \cdot d\vec{p} = \mu_0 \sum_{i=1}^m \underbrace{(I_{LUB,i})}_H + \underbrace{(I_{MAG,i})}_M = \text{AMPERE GENERALIZZATO!}$$

PERMEABILITÀ È PERMEABILITÀ MAGNETICA

Dalla relazione $H = \frac{B}{\mu_0} - M$ scopro che H e M sono legati da una proporzionalità diretta

$$\vec{M} = \chi_M \cdot \vec{H}$$

valida per ogni ISOTROPI (H e $M \parallel$)

per ogni ANISOTROPI χ_M è definita matricialmente (3x3)

χ_M è detta "susceptività magnetica" del mezzo e descrive la risposta del mezzo al campo B esterno

$$\begin{pmatrix} M_x \\ M_y \\ M_z \end{pmatrix} = \begin{pmatrix} \chi_{xx} & \chi_{xy} & \chi_{xz} \\ \chi_{yx} & \chi_{yy} & \chi_{yz} \\ \chi_{zx} & \chi_{zy} & \chi_{zz} \end{pmatrix} \begin{pmatrix} H_x \\ H_y \\ H_z \end{pmatrix} \quad M_x = \chi_{xx}H_x + \chi_{xy}H_y + \chi_{xz}H_z$$

A differenza di quella elettrica la χ_M può essere sia > 0 sia < 0 .

se tutti gli elementi sono nulli meno i 3 diagonali e questi 3 sono uguali ottengo la relazione per ogni ISOTROPI

Nel caso: > 0 sono di fronte ad un PARAMAGNETE (=intensifica B)
 < 0 " " " " " DIAMAGNETE (=indebolisce B)

Quindi, poiché $B = \mu_0(H + M) = \mu_0(H + \chi_M H) = \mu_0(1 + \chi_M)H$:

$$B = \mu_0 \mu_r H$$

dove $\mu_r = 1 + \chi_M$ è la permeabilità o permittività magnetica relativa!

Otengo conseguentemente:

(come in alto) $\oint_L \vec{H} \cdot d\vec{p} = \oint_L \frac{B}{\mu} \cdot d\vec{p} = \sum_{i=1}^m (I_{LUB,i})$ da cui

$$\oint_L \vec{B} \cdot d\vec{p} = \mu \sum_{i=1}^m (I_{LUB,i}) = \mu_0 \left(\sum_{i=1}^m (I_{LUB,i} + I_{MAG,i}) \right)$$

= ALTRO MODO PER SCRIVERE AMPERE (questo vale per campi dove c'è materia)

PROPRIETÀ MAGNETICHE DELLA MATERIA

La materia reagisce diversamente alla presenza di un campo magnetico esterno:

* DIAMAGNETI: non ho momenti di dipolo magnetico microscopico. $\chi_M < 0$, dunque $\mu_r < 1$. Ciò fa sì che B_{TOT} ne risulti indebolito poiché la somma vettoriale di tutti i momenti di dipolo magnetico associato ad ogni orbita risulti NULLA!

* PARAMAGNETI: presenza di momenti di dipolo magnetico microscopico, dunque possono allinearsi ai campi magnetici esterni. $\chi_M > 0$, dunque $\mu_r > 1$. Ciò fa sì che B_{TOT} ne risulti intensificato poiché la somma vettoriale di tutti i momenti NON È NULLA!

* FERROMAGNETI: intensa magnetizzazione permanente poiché sono materiali magnetizzabili sotto debolissimi campi che dunque si allineano a B facilmente

* ANTIFERROMAGNETI: hanno dipoli microscopici uguali ma orientati in modo opposto rispetto a quello adiacente. La magnetizzazione netta è nulla (↑↓↑↓)

* FERRIMAGNETI: hanno dipoli orientati in modo opposto rispetto a quello adiacente ma questa volta i moduli non sono uguali. Ne risulta una magnetizzazione netta (↑↑↑↓)

$$B = \mu_r \cdot B_0$$

• il campo B in presenza di materia è uguale a quello nel vuoto a meno della costante $\mu_r = 1 + \chi_H$

$\chi_H < 0$ DIAMAGNETI!

$-2,1 \cdot 10^{-9}$
 \vdots
 $-3,2 \cdot 10^{-5}$

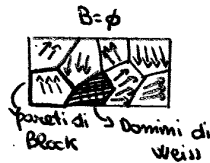
$\chi_H > 0$ PARAMAGNETI!

$2,1 \cdot 10^{-6}$
 \vdots
 $2,8 \cdot 10^{-3}$

Di fatto con questi valori di suscettività il campo B non varia poi tanto a livello macroscopico rispetto a B_0

ERROMAGNETISMO

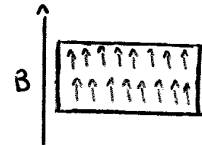
Fase 1 • In assenza di campo B, alcune zone detti DOMINI presentano momenti di dipolo tra loro paralleli o gli uni con gli altri. Il momento di dipolo risultante in assenza di campo magnetico è NULLO!



Fase 2 • Accedendo un campo magnetico esterno noto che i domini con momento parallelo al campo allargano la loro superficie ampliando le pareti di Block. Si raggruppano dunque in domini più ampi e si auto-spiangono verso la parallellizzazione del momento con il campo.

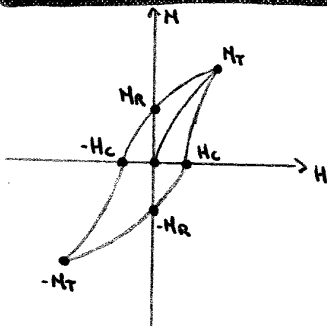


Fase 3 • All'aumentare di B avrà la continua espansione di domini e di pareti fintanto che non ci sarà un unico dominio di Weiss occupante tutto il volume dell'oggetto. In questa situazione ha la saturazione del campo che risulterà costante: MAGNETIZZAZIONE TOTALE.



Poiché nei ferromagneti χ_H non aumenta l'incremento, si usa la curva di isteresi per descrivere la relazione tra H ed H':

$$N = \chi_H \cdot H \text{ NO!} \quad \Rightarrow \quad B = \mu_0 (H + M(H)) \text{ Si!}$$



ISTERESI (memoria) } H è funzione di H' poiché ne resta parte di ciò che è stato prima! gli effetti precedenti si risentono dopo

M_T = punto di saturazione oltre cui H non cresce più \rightarrow MAGNETIZZAZIONE TOTALE
 $-M_T$ = punto opposto di saturazione
 \rightarrow un solo dominio di Weiss

M_r = magnetizzazione residua, ossia data dal decremento di H dopo averlo portato alla magnetizzazione totale.
 $H = \phi, M_r \neq 0$ dunque realizzato così magneti permanenti

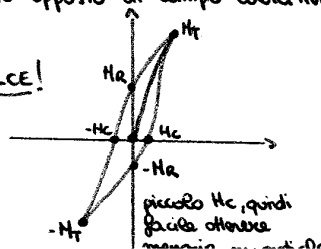
$-M_r$ = punto opposto di magnetizzazione residua

H_c = valore di campo coercitivo dato da $H = \phi$ e $H' \neq 0$

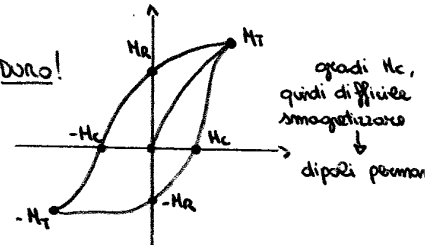
$-H_c$ = punto opposto di campo coercitivo

NB Il fatto che percorrendo in un senso o nell'altro la curva trova dai valori di M e di H diversi è la spiegazione della sublinearità della relazione come conservazione dello stato precedente

FH DOLCE!



FH DURO!



LEZ. 10

LEGGE DI FARADAY-HENRY O INDUZIONE ELETTROMAGNETICA

Ponendo un magnete permanente in prossimità ad un circuito conduttore chiuso è rilevabile f.e.m. sotto forma di corrente elettrica (cariche libere in moto nel conduttore). Anche allontanando il magnete registriamo una corrente, di verso però opposto. Si verifica dunque che l'entità della f.e.m. è dipendente dalla velocità del moto del magnete. In particolare si registrerà una f.e.m. e perciò una corrente solo quando il magnete sarà in moto poiché il $\oint_S \vec{B} \cdot d\vec{S}$ del magnete attraverso la superficie conduttrice non essendo nulla è variato nel tempo garantendo il fenomeno dell'induzione elettromagnetica! Se il flusso di \vec{B} generato dal magnete cambia allora registriamo f.e.m. e corrente. Se il flusso non cambia e quindi il magnete è fermo, l'ampereometro non registra alcuna f.e.m. o corrente.

È possibile ottenere un risultato analogo affacciando due circuiti chiusi e separati. Chiudendo l'interruttore sul primo e avendo un generatore di f.e.m. si registrerà una corrente nella prima spirale. Questa corrente induce una seconda corrente nella seconda spirale per via della variazione infinitesima di flusso di \vec{B} quando apro e chiudo il mio interruttore. Il campo \vec{B} è generato dal primo circuito e il flusso di questo si concatena alla seconda spirale registrando una I_2 .

Tutti questi esempi per mostrare l'esistenza di una relazione tra f.e.m. indotta e variazione del flusso di \vec{B} :

$$f_{em, indotta} = V_{ind} = - \frac{d}{dt} \Phi_{MAGN}$$

→ ovvio che devo avere la variazione di Φ_S^B !!

Ricordando che la f.e.m. è definita come $f_{em} = \oint_L \vec{E} \cdot d\vec{P}$ lungo un percorso chiuso trovo che:

$$\oint_L \vec{E} \cdot d\vec{P} = - \frac{d}{dt} \left(\oint_S \vec{B} \cdot d\vec{S} \right)$$

→ valida per ogni circuito chiuso dove è presente un \vec{B} variabile

III equazione di Maxwell

campo elettrico indotto da \vec{B}

questo meno deriva dalla circolazione del campo elettrico indotto (legge di Lenz)

LEGGE DI LENZ

La regola per determinare la f.e.m. indotta è data dalla legge:

"La corrente indotta in un circuito chiuso ha verso tale da opporsi alla variazione che l'ha generata"

I versi di I_{ind} e di V_{ind} vanno presi seguendo questa regola di opposizione!

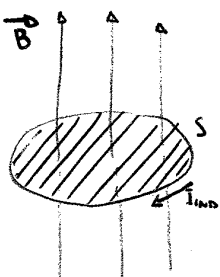
$$V_{ind} = - \frac{d}{dt} \Phi_{MAGN}$$

$$I_{ind} = - \frac{1}{R} \frac{d}{dt} \Phi_{MAGN}$$

→ IN SOLIQUI:

La corrente indotta genera un campo elettrico indotto la cui circolazione lungo la linea chiusa risulta uguale alla f.e.m. indotta. Tale f.e.m. indotta, creando un secondo campo B , contrasta il primo campo!

EFFETTO SI OPpone ALLA CAUSA!



esempio:
 B cresce nel tempo dunque su su su. Per Lenz la f.e.m. indotta crea B_{ind} che lo deve diminuire (u u u u u).
 Per la mano dx trovo il verso di I_{ind} !

→ il campo può variare in modulo, ma anche se è in direzione per il possibile movimento della spirale, o anche perché la spirale si deforma.

AUTO INDUZIONE NEI CIRCUITI

Facciamo scorrere della corrente I in un circuito chiuso, qualunque sia la sua geometria, esso crea un campo magnetico. Le sue linee di campo attraversano il circuito stesso, dunque si autoconcatena il campo al circuito che l'ha generato. È dunque possibile calcolare il flusso del campo magnetico autoconcatenato!!

$$\Phi_{\text{Autoconc.}}^B = \int_S \vec{B} \cdot d\vec{S} = L \cdot I$$

dove L è il coefficiente di autoinduzione, funzione della geometria del circuito e del mezzo circostante

Se I varia nel tempo è evidente che varia il $\Phi_{\text{Autoconc.}}^B$ e dunque si viene a creare per la legge dell'induzione elettromagnetica una fem.

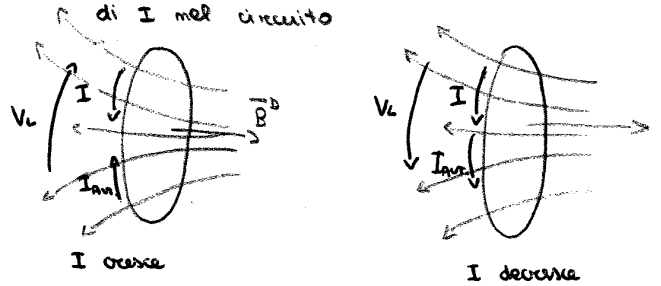
$$V_L = - \frac{d}{dt} \Phi_{\text{Autoconc.}} = -L \frac{dI}{dt} = \text{fem}_{\text{AUTOINDOTTA}}!$$

La fem_{AUTOINDOTTA} genera una I_{AUTOINDOTTA}

$$I_{\text{AUTOINDOTTA}} = - \frac{L}{R} \frac{dI}{dt}$$

Continua a valere Lenz!

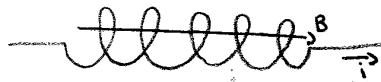
La fem autoindotta V_L agisce in modo tale da far contrastare da I_{auto} la variazione di I nel circuito



usare il principio del su-su-su, giù-giù-giù!
(RICORDATI ANDRÈ)!

Per particolari geometrie il calcolo dell'autoinduttanza L risulta semplice:

- Solenoide



$B = \mu \frac{N}{l} I$ è il campo in un infinito solenoide

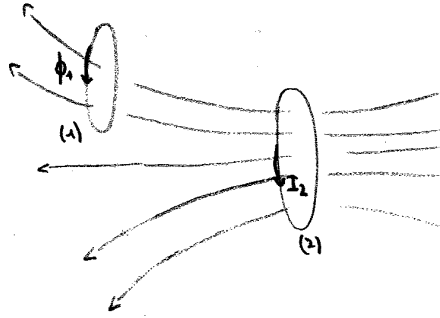
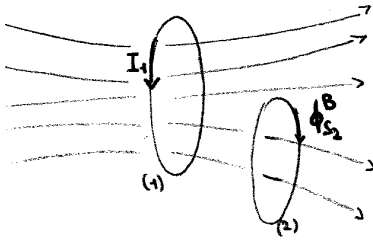
$$\begin{cases} \Phi_{\text{Autoconc.}} = \int_S \vec{B} \cdot d\vec{S} = \int_S \mu \frac{N}{l} I \, dS = N \Phi = \mu \frac{N^2 S}{l} I \\ \Phi_{\text{Autoconc.}} = L \cdot I \end{cases}$$

$$L = \mu \frac{N^2 S}{l}$$

$$L = \frac{\mu N^2 S}{l}$$

LE2.14

CIRCUITI ACCOPPIATI E COEFFICIENTI DI MUTUA INDUZIONE



Prendendo due circuiti di geometria nota e analizzandoli separatamente trovo che:

- I_1 crea un campo B_1 che si concatena con il secondo circuito ed è dimostrabile che:

$$\phi_2 = M_{12} I_1$$

M è detto coefficiente di mutua induzione e si misura in Henry

- I_2 crea un campo B_2 che si concatena con il primo circuito ed è dimostrabile che:

$$\phi_1 = M_{21} I_2$$

In conclusione, avendo due circuiti in cui circolano correnti, il flusso del campo magnetico generato da I_1 attraverso la superficie del secondo circuito è uguale al flusso del campo magnetico generato da I_2 attraverso la superficie del primo circuito!

Ne deriva ovviamente che se le correnti sono variabili nel tempo i 2 flussi che si concatenano con la spira opposta variano e da ciò ne deriva una fem indotta per la Legge di Faraday-Henry!

- I_1 varia, dunque varia $\phi_2 = M I_1$.

$$f_{em, ind}^{(2)} = - \frac{d}{dt} \phi_{S_2}^B = - \frac{d}{dt} (M I_1)$$

$$f_{em, ind}^{(2)} = - M \frac{d I_1}{dt}$$

- I_2 varia, dunque varia $\phi_1 = M I_2$.

$$f_{em, ind}^{(1)} = - \frac{d}{dt} \phi_{S_1}^B = - \frac{d}{dt} (M I_2)$$

$$f_{em, ind}^{(1)} = - M \frac{d I_2}{dt}$$

⇒ Scambio di energia tra i 2 circuiti per effetto del campo elettromagnetico!

PRINCIPIO DI CONSERVAZIONE DELLA CARICA ELETTRICA

In ogni processo l'ammontare di carica netta deve rimanere lo stesso!

Ciò si traduce nel dire che se considero q la quantità di carica contenuta in una superficie S se entra carica in S , q aumenta, se da q esce carica, q diminuisce.

$$\oint \vec{B} \cdot d\vec{p} = \mu I$$

Da ciò deriva che la legge di Ampere non ha più validità per campi variabili nel tempo. Ma perché?

Traducendo in un bilancio il principio di conservazione attraverso S ho:

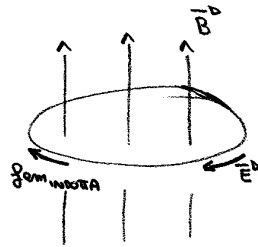
$$\text{DIMINUZIONE DI } Q = (\text{FLUSSO USCENTE}) - (\text{FLUSSO ENTRANTE}) = \text{FLUSSO NETTO USCENTE}$$

È dunque evidente l'analogia fra la III e la IV equazione di Maxwell:

• Faraday-Henry:

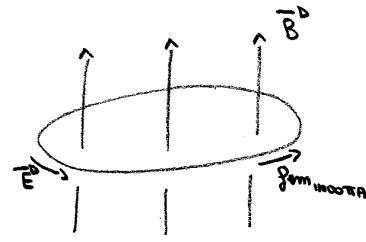
$$\oint_L \vec{E} \cdot d\vec{p} = - \frac{d}{dt} \int_S \vec{B} \cdot d\vec{S}$$

NB ⇒ l'anomalia di opposizione per via della legge di Lenz!



|B| cresce

per Lenz deve opporsi
pollice a dx e giro

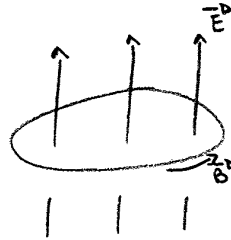


|B| decresce

per Lenz pollice su e giro

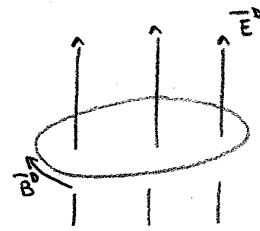
• Ampere-Maxwell:

$$\oint_L \vec{B} \cdot d\vec{p} = \mu_0 \left[I + \epsilon_0 \frac{d}{dt} \int_S \vec{E} \cdot d\vec{S} \right]$$



|E| cresce

crescere = salire (pollice in su) e giro



|E| decresce

decrescere = scendere (pollice in giù) e giro

EQUAZIONI DI MAXWELL IN FORMA INTEGRALE

1 • GAUSS PER IL CAMPO ELETTRICO

$$\oint_S \vec{E} \cdot d\vec{S} = \frac{q_{INT}}{\epsilon_0}$$

* S(L) vuol dire ogni superficie avvolta L come contorno

2 • GAUSS PER IL CAMPO MAGNETICO

$$\oint_S \vec{B} \cdot d\vec{S} = 0$$



3 • FARADAY-HENRY

$$\oint_L \vec{E} \cdot d\vec{p} = - \frac{d}{dt} \int_{S(L)} \vec{B} \cdot d\vec{S}$$

4 • AMPERE-MAXWELL

$$\oint_L \vec{B} \cdot d\vec{p} = \mu_0 \left[I + \epsilon_0 \frac{d}{dt} \int_{S(L)} \vec{E} \cdot d\vec{S} \right]$$

Cioè, sia un campo elettrico, sia un campo magnetico soddisfanno all'equazione delle onde ed in particolare

$$\epsilon_0 \mu_0 = \frac{1}{c^2}$$

v è la velocità di fase $\Rightarrow v^2 = \frac{1}{\epsilon_0 \mu_0} \Rightarrow v = \sqrt{\frac{1}{\epsilon_0 \mu_0}} = c = 3 \cdot 10^8 \frac{m}{s}$

Si scopre dunque che c è la velocità di fase delle onde e.m. nel vuoto
Da ciò deduco che le generiche soluzioni sono:

$$E(x,t) = E(x-ct)$$

$$B(x,t) = B(x-ct)$$

Conclusioni:

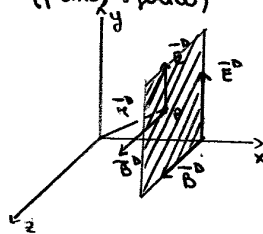
- il campo em. soddisfa all'equazione di D'Alembere
- E e B sono \perp $\forall t$ e $\forall x$ (anche in caso di rotazione dei piani di polarizzazione)
- il campo elettromagnetico si propaga con velocità $c \approx 3 \cdot 10^8 \text{ m/s}$

La direzione di propagazione del campo em. è data dalla mano dx, poiché $E \times B$

↳ posto E su B . Il pollice dà la propagazione dell'onda

FRONTE D'ONDA

Superficie su cui, ad un determinato tempo t , il campo \vec{E}^D e \vec{B}^D risultano costanti.
Ne esistono di varie geometrie (piano, sferico)



ONDE ELETTROMAGNETICHE PIANE

↳ fronte d'onda piano

Un caso particolare per l'equazione delle onde è dato dalle funzioni armoniche:

$$\vec{E}(x,t) = \vec{E}(x-ct) = \vec{E}_0 \sin[k(x-ct)] = \vec{E}_0 \sin(kx - \omega t)$$

$$\vec{B}(x,t) = \vec{B}(x-ct) = \vec{B}_0 \sin[k(x-ct)] = \vec{B}_0 \sin(kx - \omega t)$$

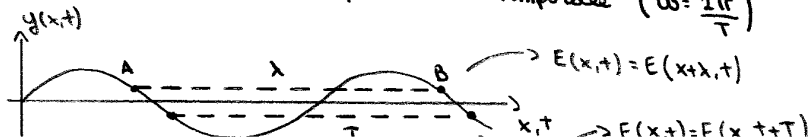
$k\omega = \omega$ poiché in generale $k = \frac{\omega}{v}$, ossia k = vettore d'onda che indica carattere radiante al seno!

$k = \frac{2\pi}{\lambda}$ da cui $k\omega = \omega = 2\pi\nu = \frac{2\pi}{T}$ con $\frac{\omega}{k} = v \Rightarrow \vec{A}(x,t) = \vec{A}_0 \sin\left(2\pi\left(\frac{x}{\lambda} - \frac{t}{T}\right)\right)$

↳ $k = \frac{2\pi}{\lambda}$
↳ $\omega = \frac{2\pi}{T} = 2\pi\nu$

ne deduco che:

- λ è il parametro di periodicità spaziale ($k = \frac{2\pi}{\lambda}$)
- T è il parametro di periodicità temporale ($\omega = \frac{2\pi}{T}$)



VECTORE POYNTING → come tutti i campi anche quello elettromagnetico, propagatori, trasporta energia

L'intensità di un campo è definita come l'energia per unità di tempo e superficie:

anche detta "brillanza" o "buciantezza"

$$I = \frac{E}{t \cdot S} = \frac{[W]}{[m^2]}$$

La suddetta formula può anche essere ricavata attraverso il vettore Poynting (\vec{S}) che descrive modulo, direzione e verso della propagazione dell'energia!

$$\vec{S} = \frac{1}{\mu_0} \vec{E} \times \vec{B}$$

→ la sua direzione e verso indicano dir. e verso del flusso di propagazione di E.M.

→ il suo modulo indica l'energia per unità di tempo e superficie, attraverso un'area \perp alla propagazione (= fronte d'onda)

L'esempio del campo EM aiuta a capire:

$$w_e = \frac{1}{2} \epsilon_0 E^2$$

densità di energia per unità volumica del campo elettrico

$$w_m = \frac{1}{2\mu_0} B^2$$

densità di energia per unità volumica del campo magnetico

$$w = w_e + w_m = \frac{1}{2} \epsilon_0 E^2 + \frac{1}{2} \frac{1}{\mu_0} B^2$$

densità di energia per unità volumica del campo EM

Sapendo che $E = cB$ (punto e punto),

$$w = \frac{1}{2} \epsilon_0 E^2 + \frac{1}{2\mu_0} \frac{E^2}{c^2} \quad \text{con } c = \frac{1}{\sqrt{\epsilon_0 \mu_0}}$$

$$w = \frac{1}{2} \epsilon_0 E^2 + \frac{1}{2\mu_0} E^2 \cdot \epsilon_0 \mu_0 = \epsilon_0 E^2 \quad (\text{dove noto che } E \text{ ed } B \text{ portano lo stesso contributo a } w_{EM})$$

poiché $t = \frac{\lambda}{v}$:

moltiplico per la velocità v densità volumica w_{EM} con cui ottengo $\frac{E}{St}$ poiché $v = \frac{\lambda}{t}$

$$I = \frac{E}{St} = w_{EM} \cdot c = \epsilon_0 E^2 \cdot \frac{1}{\sqrt{\epsilon_0 \mu_0}} = \frac{\epsilon_0}{\sqrt{\epsilon_0 \mu_0}} E \cdot c \cdot B = \frac{\epsilon_0 EB}{(\sqrt{\epsilon_0 \mu_0})^2} = \frac{EB}{\mu_0} = |\vec{S}|$$

→ $\sin \theta = 1$ poiché tra \vec{E} ed \vec{B} c'è $\frac{\pi}{2}$
MODULO POYNTING = MODULO CAMPO EM

$$I = \frac{E}{St} \quad \frac{w_{EM}}{S \cdot t} = \epsilon_0 E^2 \quad \frac{w_{EM}}{S \cdot t} \cdot v = \frac{w_{EM} \cdot \lambda}{S \cdot t \cdot t} = \frac{w_{EM}}{St} = I$$

$$I = \frac{E}{St} = w_{EM} \cdot c = \epsilon_0 E^2 \cdot \frac{1}{\sqrt{\epsilon_0 \mu_0}} = \epsilon_0 \cdot E \cdot c \cdot B \cdot \frac{1}{\sqrt{\epsilon_0 \mu_0}} = \frac{\epsilon_0 EB}{\epsilon_0 \mu_0} = \frac{EB}{\mu_0}$$

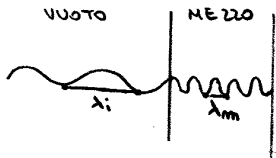
⇒ è effetto complessivo, poiché $n \approx 1$, ha velocità nel mezzo $v(\text{mezzo}) = \frac{c}{\sqrt{\epsilon_r}}$

Definiamo "indice di rifrazione" n , la quantità adimensionata che indica di quanto viene ridotta v rispetto al vuoto

$$n = \frac{c}{v(\text{mezzo})} \approx \sqrt{\epsilon_r}, \quad n = \sqrt{\epsilon_r}$$

2°

FENOMENO DELLA DISPERSIONE



Ogni onda ha la sua frequenza (ν) e la sua lunghezza d'onda (λ).

Nel vuoto: $\nu_i \quad \lambda_i$

Nel mezzo: $\nu_m \quad \lambda_m \quad \text{con } n^2 = \epsilon_r$

Poiché la frequenza dipende solo dalla sorgente, restano costanti anche all'interno del mezzo, io so che $\nu_m = \nu_i$, ma

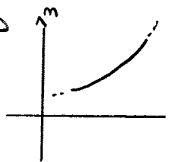
$\nu(\text{mezzo}) = \frac{c}{\lambda_m}$ per quanto visto poco fa $v(\text{mezzo}) = \frac{c}{n}$, da cui

$$\nu_i = \frac{c}{\lambda_i} = \nu_m = \frac{v(\text{mezzo})}{\lambda_m}$$

$$\frac{c}{\lambda_i} = \frac{c}{n} \frac{1}{\lambda_m} \quad \text{da cui}$$

$$\lambda_m = \frac{\lambda_i}{n}$$

↑ aumenta n ,
↑ aumenta ω



e poiché l'indice di rifrazione dipende da ω ho che $v = \frac{c}{n(\omega)} = v(\omega)$ che è detto "fenomeno di dispersione"

↳ a parità di materiale n è diverso! è molto influenzato dalle differenze di frequenza che con il materiale incidono

VELOCITÀ DI FASE E DI GRUPPO DELLE ONDE EM

Come conseguenza della dispersione (= dipendenza di v dalla frequenza), possiamo sperimentare tale fenomeno: "nel vuoto, dato un segnale \sin non sinusoidale di forma $f(x)$ propagante lungo x , abbiamo che $f(x,t)$ è detto integrale di Fourier ed è dipendente da k e da ω !"

$$f(x,t) = \int_{-\infty}^{+\infty} A(k) \sin[kx - \omega(k) - t] dk$$

Nel vuoto la propagazione dell'onda è nota e vale $c = 3 \cdot 10^8 \frac{m}{s}$.

Nel mezzo non posso fare la stessa considerazione per via della dispersione energetica, perciò mi introduco il concetto di velocità di gruppo (= velocità di fase nel mezzo)

"nel mezzo tutte le componenti a diverse k e ω si propagano con velocità diverse. Il segnale cambia forma propagandosi"

La velocità di gruppo è proprio la velocità di un segnale non sinusoidale propagante e indica la velocità con cui il baricentro, del segnale che si deforma, trasla!

Nel vuoto le componenti k e ω fanno tutte la stessa velocità, perciò il segnale risulta indeformato.

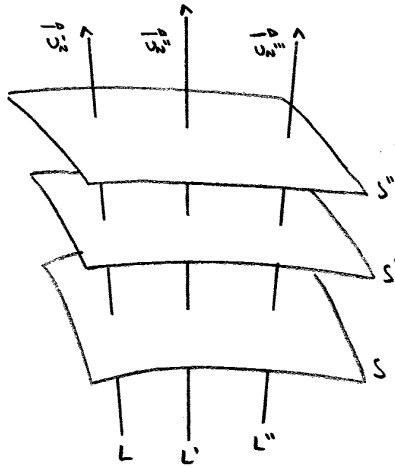
La velocità del singolo segnale sinusoidale viene detta velocità di fase, ma poiché se l'onda monocomponente non esistono se non come elementi costitutivi un'onda + compen... ecco che si deriva la velocità di gruppo.

LEZ. 14

OTICA GEOMETRICA

Il suo compito è studiare l'andamento spazio-temporale delle superfici d'onda a partire dall'analisi delle direzioni dei raggi, \perp ai fronti d'onda $\forall t$

U_N è sempre \perp ai fronti d'onda!

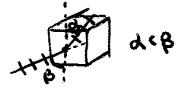


Proprietà dell'ottica geometrica:

Noi analizziamo i casi omogenei e isotropi

RAGGI

- U_N è sempre \perp ai fronti d'onda
- se le proprietà del mezzo sono omogenee ($v = \text{costante}$) i raggi sono rette! → velocità
- se le proprietà del mezzo non sono omogenee i raggi non sono più rette. Po una deflessione del raggio ma non una piega!

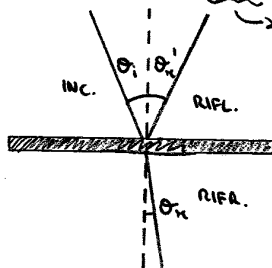
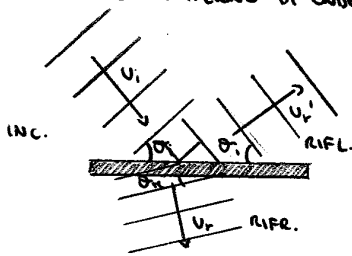


FRONTI D'ONDA

- se le proprietà del mezzo sono isotrope i fronti d'onda restano identici e paralleli
- se le proprietà del mezzo sono anisotrope i fronti d'onda si deformano anche completamente

RIFLESSIONE E RIFRAZIONE DI ONDE PIANE INCIDENTI

SUPERFICIE PIANA TRA DUE MEZZI OMOGENEI E ISOTROPI



non esistono: esse sono una buona approssimazione delle sferiche lontane dalla sorgente

- θ_i : angolo tra normale a S e raggi inc.
- θ_r : " " " " " " " rifles
- θ_t : " " " " " " " rifra

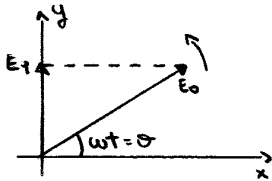
I fenomeni di riflessione e rifrazione esistono per le diverse velocità presenti in mezzi diversi. Ciò dipende dunque dai diversi indici n poiché $v = \frac{c}{n}$. I fenomeni saranno tanto più marcati quanto più sarà alto il rapporto tra gli indici $\frac{n_1}{n_2}$ dove $n_1 = \frac{c}{v_1}$ ed $n_2 = \frac{c}{v_2}$.

Si verifica sperimentalmente che:

1. incidenza, normale e riflessione stanno sullo stesso piano
2. angolo di incidenza e di riflessione sono uguali ($\theta_i = \theta_r$)
3. angolo di incidenza e di rifrazione sono legati dalla relazione

$n_1 \sin \theta_i = n_2 \sin \theta_t = \text{LEGGE DI SNELL}$

Dato che sto parlando di campi tempo-spazio variabili come alternativa al calcolo trigonometrico uso quello "fattoriale" o dei "vettori rotanti"!



L'ampiezza istantanea in un punto preso come origine di un'onda em del tipo:

$$E_1(P,t) = E_0 \sin(kx - \omega t)$$

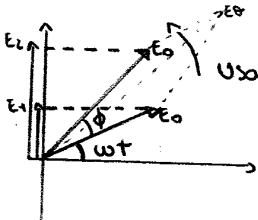
fissando la parte spaziale (kx), mi concentro solo sulla parte temporale:

$$E_1(t) = E_0 \sin(\omega t)$$

Posso studiare $E_1(t)$ prendendo un vettore con ampiezza massima E_0 e farlo ruotare con velocità costante ω attorno all'origine.

Proietto ora il vettore E_0 sull'asse y (=sto moltiplicando $E_0 \cdot \sin(\text{angolo opposto})$) e vedo che istante per istante ho il valore di $E_1(t)$ al variare di $\omega t = \theta$.

Considerando due campi elettrici oscillanti avrò che la unica differenza tra i due, poiché sono coerenti e sinusoidali, sarà una differenza di fase dovuta al diverso spazio che percorrono per arrivare a P. Ci sarà uno sfasamento chiamato proprio ϕ .

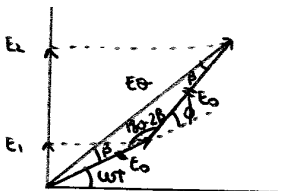


Usando il metodo dei vettori rotanti calcolo $E_R = E_1 + E_2$ come:

$$E_R(t) = E_1(t) + E_2(t) = E_0 \sin(\omega t) + E_0 \sin(\omega t + \phi)$$

considero E_0 uguale per i due!

Lo sfasamento ϕ resta costante $\forall t$ e le proiezioni dei due sommati mi danno $E_R(t) \forall t$



Uso la regola della "POLIGONALE" attaccando punta-coda i vettori e mantenendoli costanti in modulo, direzione e verso.

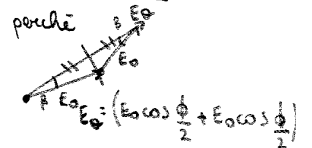
La linea che unisce il tutto è la risultante E_0 .

Proiettando E_0 sull'asse y trovo il campo $E_R(t)$ istante per istante

Trovando che $\phi = 2\beta$ ho che la differenza di fase β del campo E_0 risultante è uguale a $\frac{\phi}{2}$

$$E_R = E_1 + E_2 = E_0 \sin\left(\omega t + \frac{\phi}{2}\right)$$

dove $E_0 = 2E_0 \cos \frac{\phi}{2}$



$$E_R = 2E_0 \cos \frac{\phi}{2} \cdot \sin\left(\omega t + \frac{\phi}{2}\right)$$

modulazione dell'ampiezza

mi garantisce la proiezione di E_0 sull'asse $y = E_R$

Considerando lo stesso schema precedente trovo che:

$$I_H \propto \left(2E_0 \cos \frac{\phi}{2} \right)^2 = \left(2E_0 \cos \left(\frac{k(\pi_1 - \pi_2)}{2} \right) \right)^2$$

se, come prima, posso considerare $\pi_1 \parallel \pi_2$:

← approssimazione

$$\phi = k(\pi_1 - \pi_2) \approx k(a \sin \theta) = \frac{2\pi}{\lambda} (a \sin \theta)$$

$$I_H \propto \left(2E_0 \cos \frac{\phi}{2} \right)^2 = \left(2E_0 \cos \left(\frac{k a \sin \theta}{2} \right) \right)^2 = \left(2E_0 \cos \left(\frac{\pi a \sin \theta}{\lambda} \right) \right)^2$$

⇒ PARTICOLARIZZAZIONE di questo caso particolare dove $\phi = 0$

Come posso ottenere sorgenti d'onda sinuose e coerenti?
 Faccio partire il tutto da una: faccio incidere la luce su una superficie dove c'è una fenditura (D_0); propagandosi su un piano dove poi ne faccio 2 (D_1 e D_2); onde prodotte dalla stessa sorgente saranno in fase, sinuose e coerenti.

DEFINIZIONE IN TERMINI DI DIFE. DI CAMMINO $\pi_1 - \pi_2$

Altro modo per ridefinire le interferenze costruttive o distruttive:

• $I_H = \text{MAX}$ COSTRUTTIVA

$$\phi = \frac{2\pi}{\lambda} a \sin \theta = 2m\pi$$

con $\pi_1 - \pi_2 \approx a \sin \theta = m\lambda$ $m = 0, \pm 1, \pm 2$

multiplo intero della lunghezza d'onda λ

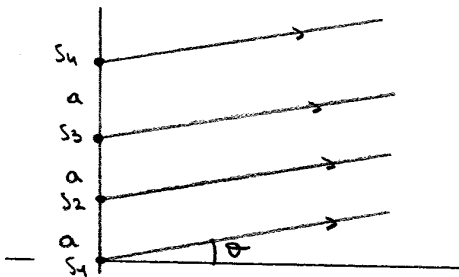
• $I_H = 0$ DISTRUTTIVA

$$\phi = \frac{2\pi}{\lambda} a \sin \theta = (2m+1)\pi$$

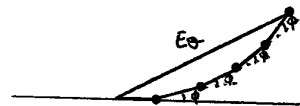
con $\pi_1 - \pi_2 \approx a \sin \theta = (2m+1) \frac{\lambda}{2}$ $m = 0, \pm 1, \pm 2$

multiplo dispari della semilunghezza d'onda λ

INTERFERENZA PRODOTTA DA N SORGENTI COERENTI SINCRONE



Suppongo di avere 4 sorgenti distanti a , coerenti e sinuose. Dopodiché costruisco la spezzata (poligonale)



proietto poi E_0 su y e trovo $E_H(t)$

INT COSTRUTTIVA ($\phi = 0$)

La spezzata è un'unica linea retta!

$$I_H(\text{MAX}) \propto N^2 E_0^2$$

INT DISTRUTTIVA ($\phi \neq 2m\pi$)

La spezzata ruota e per un certo numero di sorgenti si chiude su se stessa

$\phi = \pi$

$$I_H(m\pi) = 0$$

